

締固め試験におけるエネルギーと運動量の役割

大阪市立大学工学部 正 大島昭彦 高田直俊
同 大学院 学○福本彦吉

まえがき 筆者らは遠心模型実験により重錐落下による締固め効果が、打撃エネルギーよりも重錐運動量に強く依存すること¹⁾²⁾、その傾向が通常の突固めによる締固め試験にも当てはまることを報告した³⁾。今回は締固め試験に及ぼすランマー質量mと落下高Hの影響をより詳細に調べるために、1打撃のエネルギーE_iおよび運動量mvがそれぞれ一定の条件の下で、総打撃エネルギーおよびmとHの組み合わせを変えた締固め試験を行い、得られた締固め曲線と最大乾燥密度を比較した。

試験方法 直径10cmモールドと直径5cmのランマーを使用した。表-1に試験条件をまとめた。E_i一定シリーズではE_i=75kgf·cmとなるように[m, H]の組み合わせを[1.75kg, 42.9cm], [2.5, 30], [4.5, 16.7]に変え、mv一定シリーズではmv=606kg·cm/sとなるように[1.75kg, 61.2cm], [2.5, 30], [4.5, 9.3]に変えた。ただし[2.5, 30]は同一試験である。それぞれ1層当たりの突固め回数N_B、突固め層数N_Lを[6回, 1層], [6, 3], [12, 3], [25, 3]に変えた(N_B=6では全面が1回だけ打撃される)。さらに標準締固めエネルギー(Standard Proctor)の2倍に当たる[m, H, N_B, N_L]=[2.5kg, 30cm, 50回, 3層]を加えた。

試料は生駒産のまさ土をロサンゼルス試験機で脆弱な粒子を破碎させたもので、最大粒径=2mm、細粒分含有率=19%、U_c=46、ρ_s=2.71g/cm³である。1本の締固め曲線に対する試料は繰返し用いた。

結果の整理には次式の単位体積当たりの締固め仕事量E_cと締固め運動量M_cを用いた。

$$E_c = \frac{W \cdot H \cdot N_B \cdot N_L}{V} \quad (\text{kgf} \cdot \text{cm}/\text{cm}^3)$$

$$M_c = \frac{m \cdot \sqrt{2gH} \cdot N_B \cdot N_L}{V} \quad (\text{kg} \cdot \text{cm}/\text{s}/\text{cm}^3)$$

ここにWはランマー重量、Vはモールド容積である。

表-1 試験条件と結果

実験 シリーズ	m (kg)	H (cm)	N _B (回)	N _L (層)	E _c	M _c	ρ _{dmax} (g/cm ³)	w _{opt} (%)
E _i 一定	1.75	42.9	6	1	0.45	3.04	1.630	20.2
	2.5	30	〃	〃	〃	3.64	1.642	19.6 ¹⁾
	4.5	16.7	〃	〃	〃	4.88	1.672	19.2
	1.75	42.9	6	3	1.35	9.13	1.760	16.7
	2.5	30	〃	〃	〃	10.9	1.775	16.6 ²⁾
	4.5	16.7	〃	〃	〃	14.7	1.800	16.2
	1.75	42.9	12	3	2.70	18.3	1.836	14.3
	2.5	30	〃	〃	〃	21.8	1.843	14.0 ³⁾
	4.5	16.7	〃	〃	〃	29.3	1.850	13.7
	1.75	42.9	25	3	5.63	38.1	1.917	11.8
	2.5	30	〃	〃	〃	45.5	1.918	11.8 ⁴⁾
	4.5	16.7	〃	〃	〃	61.1	1.921	11.7
mv一定	1.75	61.2	6	1	0.64	3.64	1.641	19.5
	2.5	30	〃	〃	0.45	〃	1.642	19.6 ¹⁾
	4.5	9.3	〃	〃	0.25	〃	1.637	20.4
	1.75	61.2	6	3	1.93	10.9	1.775	16.6
	2.5	30	〃	〃	1.35	〃	1.775	16.6 ²⁾
	4.5	9.3	〃	〃	0.75	〃	1.770	16.9
	1.75	61.2	12	3	3.86	21.8	1.876	13.4
	2.5	30	〃	〃	2.70	〃	1.843	14.0 ³⁾
	4.5	9.3	〃	〃	1.51	〃	1.822	14.9
	1.75	61.2	25	3	8.03	45.5	1.943	10.9
	2.5	30	〃	〃	5.63	〃	1.918	11.8 ⁴⁾
	4.5	9.3	〃	〃	3.14	〃	1.883	12.9
2E _{cs}	2.5	30	50	3	11.3	90.9	1.992	10.6 ⁵⁾

E_c:締固め仕事量(kgf·cm/cm³)、

M_c:締固め運動量(kg·cm/s/cm³)、

1), 2), 3), 4)はそれぞれ同一試験、

5)はStandard ProctorエネルギーE_{cs}の2倍

結果と考察 表-1に各試験で得られた最大乾燥密度ρ_{dmax}と最適含水比w_{opt}を示した。図-1, 2にそれぞれE_i, mv一定シリーズの締固め曲線を示した。E_i一定シリーズでE_cが低い場合は、文献3)の結果と同様に、mが大きいほど締固め曲線が上方に位置し、ρ_{dmax}が大きく、w_{opt}は小さくなる。しかしE_cが高くなるとその傾向は弱まり、E_c=5.63kgf·cm/cm³(Standard Proctor)ではm, Hの違いが現れなくなる。一方、mv一定シリーズでM_cが低い場合は、m, Hによらずほぼ同じ結果が得られるが、M_cが高くなるとmが小さい(E_cは大きい)ほど締固め曲線が上方に位置し、E_i一定シリーズとは逆の傾向を示す。

図-3, 4にそれぞれρ_{dmax}-log(E_c), ρ_{dmax}-log(M_c)の関係を示した。両者ともほぼ直線関係を示す。前述したようにE_cによる整理はE_cが低い領域で、M_cによる整理はM_cが高い領域で打撃条件の差が見られるが、M_cによる整理の方がρ_{dmax}は狭い範囲におさまっている。これは文献3)で報告したように重錐落下による衝撃締

固め機構は完全非弾性衝突で説明でき、締固め効果は運動量が支配要因であるためと考えられる。 M_c が大きくなると運動量で説明できなくなるのは、土が高密度化することによって弾性成分の影響が現れ、衝突の機構が変わるためにと考えられる。

あとがき 現在の土の締固め問題はエネルギー管理が基本であるが、今回の結果では締固め密度はエネルギーより運動量に強く依存することが見いだせた。今後土の種類を変えた実験を行い、さらにデータを蓄積したい。

参考文献

- 1) 大島, 他: 重錐落下締固め工法における打撃仕様と効果, 第25回土質工学会, pp.1853~1856, 1990.
- 2) 大島, 他: 重錐落下締固めにおける密度増加域と運動量の関係, 第48回土木学会, 1993.
- 3) 大島, 他: 重錐落下締固めにおける重錐運動量と締固め効果, 第27回土質工学会, pp.2103~2106, 1992.

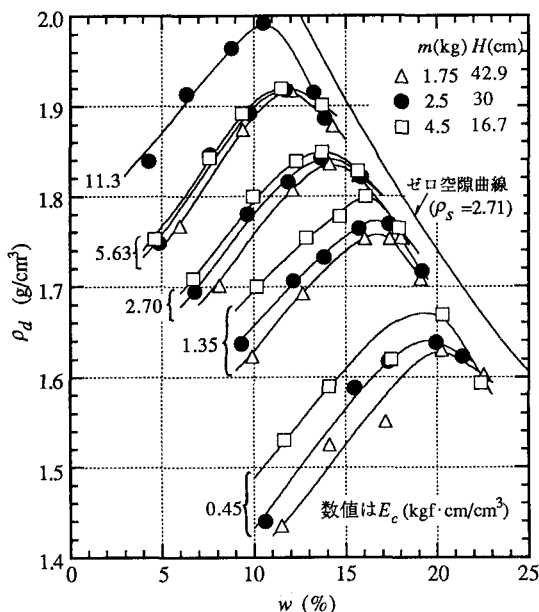
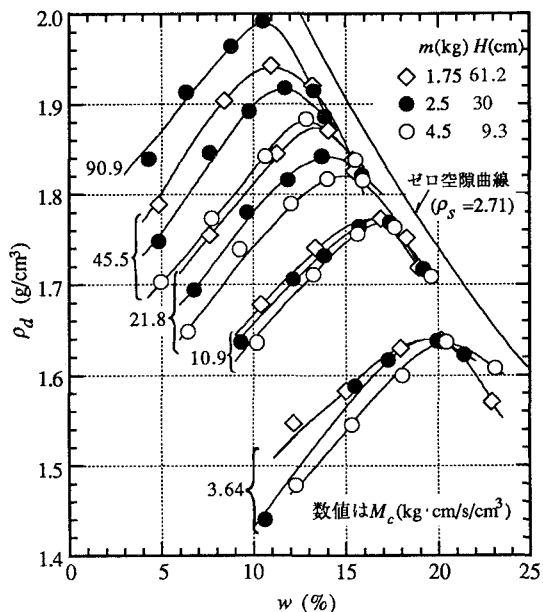
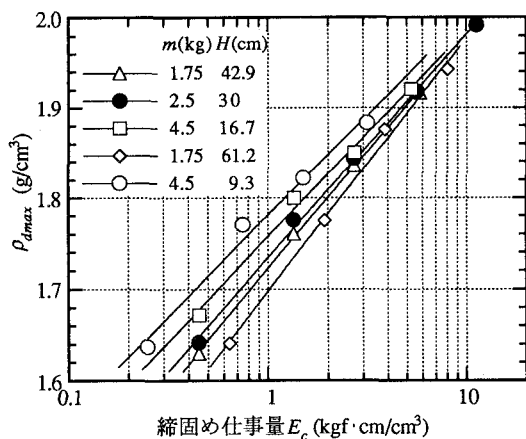
図-1 E_I 一定シリーズの締固め曲線図-2 mv 一定シリーズの締固め曲線

図-3 最大乾燥密度と締固め仕事量の関係

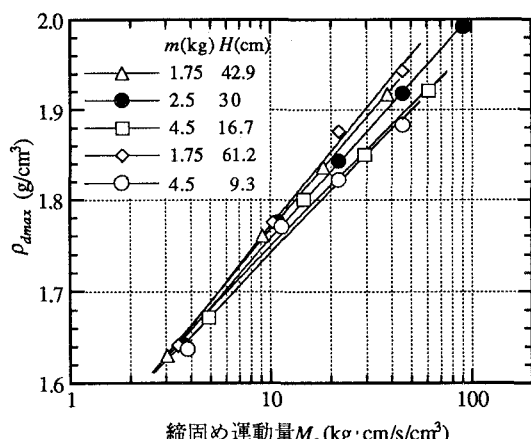


図-4 最大乾燥密度と締固め運動量の関係